

◆ 胸部影像学

Diagnostic efficacy of CEUS in diagnosis of mammographic BI-RADS 3—5 category breast lesions

ZHANG Xiaoling¹, GUAN Jian¹, LI Meizhi¹, ZHENG Yanling², YANG Zheng³, LIU Mingjuan^{1*}

(1. Department of Radiology, 2. Department of Ultrasound, 3. Department of Pathology,
the First Affiliated Hospital, Sun Yat-sen University, Guangzhou 510080, China)

[Abstract] **Objective** To evaluate the value of CEUS in diagnosis of mammographic BI-RADS 3—5 category breast lesions. **Methods** A total of 120 mammographic BI-RADS category 3—5 breast lesions were analyzed by targeted CEUS and biopsied. Pathological result was regarded as the golden standard. The sensitivity, specificity, positive predictive value (PPV) and negative predictive value (NPV) of mammography (MG) and CEUS were calculated respectively and compared statistically. **Results** Of the 120 cases, CEUS diagnosed 2 as true positive and 4 as false positive in 37 mammographic BI-RADS 3 lesions, 14 as true positive and 33 as true negative in 60 mammographic BI-RADS 4 lesions, and 18 as true positive and 2 as false positive and 3 as false negative in 23 mammographic BI-RADS 5 lesions. The sensitivity of MG and CEUS had no significant difference (95.12% vs 82.93%, P=0.366). The specificity of CEUS was significantly higher than that of MG (81.01% vs 44.30%, P<0.001). The PPV and NPV between MG and CEUS had significant differences (both P <0.05). **Conclusion** CEUS can be used to improve the diagnostic specificity in mammographic BI-RADS 3, 4, 5 lesions. A negative diagnosis by CEUS in mammographic BI-RADS 3 lesions can increase the diagnostic confidence.

[Key words] Contrast-enhanced ultrasonography; Mammography; Breast neoplasms

DOI:10.13929/j.1003-3289.2016.08.021

超声造影对乳腺 X 线摄影 BI-RADS 3~5 类病变的诊断效能

张小玲¹, 关键¹, 李美芝¹, 郑艳玲², 杨峥³, 刘明娟^{1*}

(1. 中山大学附属第一医院放射科, 2. 超声科, 3. 病理科, 广东 广州 510080)

[摘要] **目的** 探讨 CEUS 对乳腺 X 线摄影 (MG) 诊断为 BI-RADS 3~5 类病变的诊断价值。**方法** 对 120 例乳腺摄影诊断为 BI-RADS 3~5 类病变的患者行 CEUS 检查, 所有患者均于影像学检查后接受病理检查。以病理结果为金标准, 计算 MG 与 CEUS 的诊断敏感度、特异度、阳性预测值 (PPV) 和阴性预测值 (NPV), 并进行统计学分析, 比较其诊断效能。**结果** 120 例中, MG 诊断为 BI-RADS 3 类病变 37 例, 其中 CEUS 诊断 2 例真阳性, 4 例假阳性; BI-RADS 4 类病变 60 例, CEUS 诊断 14 例真阳性, 33 例真阴性; BI-RADS 5 类病变 23 例, CEUS 诊断 18 例真阳性, 2 例假阳性, 3 例 CEUS 诊断阴性者均为假阴性。MG 与 CEUS 对 BI-RADS 3~5 类病变的诊断敏感度差异无统计学意义 (95.12% vs 82.93%, P=0.366), CEUS 的诊断特异度明显高于 MG (81.01% vs 44.30%, P<0.001); MG 与 CEUS 的 PPV 和 NPV 差异均有统计学意义 (P 均<0.05)。**结论** CEUS 应用于乳腺摄影 BI-RADS 3、4、5 类病变中, 可提高其诊断特异度; 对于 BI-RADS 3 类病变, CEUS 阴性诊断可增强诊断信心。

[基金项目] 广州市科技计划项目 (2014SX010)。

[第一作者] 张小玲 (1977—), 女, 山西太原人, 博士, 主治医师。研究方向: 乳腺、妇科影像诊断。E-mail: lindarzhang@126.com

[通信作者] 刘明娟, 中山大学附属第一医院放射科, 510080。E-mail: mingjuanl@163.com

[收稿日期] 2016-01-07 **[修回日期]** 2016-05-25

[关键词] 超声造影;乳房X线摄影术;乳腺肿瘤

[中图分类号] R445.1; R737.9 [文献标识码] A

[文章编号] 1003-3289(2016)08-1231-05

CEUS 可用于检测常规超声和能量多普勒超声无法显示的微血管(直径<0.1 mm)和低速血流(流速<1 mm/s),目前已在临床得到广泛的应用^[1-5]。在乳腺癌的临床应用中,CEUS 可提供病变的形态及血流动力学信息,在乳腺癌早期诊断、预后评价、新辅助化疗效果评估等方面有所帮助。国内外学者^[6-7]对乳腺癌 CEUS 的报道较多,主要集中于 CEUS 的良恶性病变影像征象及其诊断价值的研究。本研究前瞻性研究乳腺 CEUS 对乳腺 X 线摄影(mammography, MG)诊断的美国放射学院乳腺影像数据与诊断系统(Breast Imaging Reporting and Data System, BI-RADS)分类为 3、4、5 类病变的诊断价值。

1 资料与方法

1.1 一般资料 收集 2010 年 1 月—2012 年 12 月于我院先后接受 MG 及 CEUS 检查且诊断为 BI-RADS 3~5 类的乳腺肿瘤患者 120 例(120 个病灶),均为女性,年龄 28~72 岁,中位年龄 47 岁。所有患者均于影像学检查后接受病理检查。排除标准:①常规超声可诊断的典型良性病变,如囊肿,典型腺瘤及淋巴结等;②单乳多灶及双乳多灶病例。

1.2 仪器与方法

1.2.1 MG 检查 采用 Giotto Image 全数字化乳腺摄影机,行常规头足位和内外侧斜位摄影,必要时行点压放大和(或)局部放大摄影,以及其他体位摄影作为补充,对肿块及不对称高密度影测量其最大直径。由 2 名乳腺影像诊断医师进行诊断并行 BI-RADS 分类,意见不一致时,经讨论达成共识。

1.2.2 CEUS 检查 采用 Philips iU22 彩色多普勒超声检查仪,L9-3 MHz 线阵探头。检查前医师获知由 MG 检查提供的病灶位置信息,但不知晓 MG 诊断及分类结果。先行常规超声及频谱多普勒超声检查,确定病灶最大切面及病变内血供最丰富的区域作为 ROI,注射造影剂后,超声探头固定于 ROI 区进行实时成像并观察、记录 3 min。造影剂为 SonoVue,经肘前静脉注射 4.8 ml 微泡混悬液造影剂和 5 ml 生理盐水。

CEUS 观察内容参考文献[2-5]并结合临床经验,包括强化程度(造影剂达到峰值时,病灶与正常乳腺组织对比,分为高强化、等强化或低强化),强化的均匀性(均匀或不均匀),强化边界(清楚或不清)。将高强化、不均匀强化及边界不清认为恶性征象。对每个病灶的

诊断分为良性、可能良性、可疑恶性和恶性。

1.2.3 病理学检查 影像学检查完成后,对 106 例患者行外科切除活检或超声引导下空心针穿刺活检(其中 10 例为不伴肿块的单纯钙化,活检 2 周后行 MG 检查排除乳腺内残留钙化),对其余 14 例单纯钙化者行 MG 立体定位穿刺活检或导丝定位活检。

1.2.4 随访时间和良恶性认定方法 对术前 MG 诊断为 BI-RADS 3 类的病变,组织学诊断为良性病灶术后行常规超声复查,对术前 MG 诊断为 BI-RADS 4 类的病灶,组织学未发现恶性者,术后 6 个月行 MG 及超声检查或乳腺 MR 复查。随访 1 年内发现新发恶性病例者,归为恶性病例。

对 MG 诊断为 BI-RADS 3 类者,认为影像诊断阴性,BI-RADS 4、5 类者,认为影像诊断阳性;CEUS 诊断为良性和可能良性的病变认为 CEUS 诊断阴性,诊断为可疑恶性和恶性的病变认为 CEUS 诊断阳性。病理结果为浸润癌、原位癌、不典型增生、交界性肿瘤认为病理诊断阳性,其他病理类型认为病理诊断阴性。

1.3 统计学分析 统计分析采用 SPSS 16.0、R Foundation 3.1.0 统计分析软件。以病理结果为金标准,采用四格表方法计算 MG 与 CEUS 的诊断敏感度、特异度、阳性预测值(positive predictive value, PPV) 和 阴 性 预 测 值 (negative predictive value, NPV)。对 MG 与 乳 腺 CEUS 诊 断 的 敏 感 度 及 特 异 度 比 较 采 用 McNemar 检 验 , 两 种 影 像 检 查 PPV 和 NPV 的 比 较 采 用 进 行 χ^2 检 验 。 $P < 0.05$ 为 差 异 有 统 计 学 意 义 。

2 结果

病理结果显示 120 例患者中,恶性 41 例,包括 25 例浸润性导管,8 例导管原位癌,3 例浸润性小叶癌,1 例髓样癌,3 例交界性或恶性叶状肿瘤,1 例不典型增生;良性 79 例,包括 26 例纤维腺瘤,26 例纤维囊性变,7 例导管内乳头状瘤,19 例乳腺腺病,1 例良性叶状肿瘤。乳腺摄影、CEUS 及病理诊断的病变特征见表 1。随访时间 9~38 个月,中位数 21 个月,随访期间未发现新发恶性病例。

2.1 MG 与 CEUS、病理诊断结果对照 MG 诊断 BI-RADS 3~5 类病变与 CEUS、病理诊断结果对照见表 2。MG 诊断 BI-RADS 3 类病变 37 例,病理证实 2 例为恶性,包括 1 例导管内癌和 1 例浸润性导管癌,分别

表现为最大直径为 6 mm 的肿块和 12 mm 的局部不对称高密度影;CEUS 诊断 6 例为阳性,其中 2 例为真阳性,4 例为假阳性,假阳性病例包括 2 例肿块(最大径分别为 9、13 mm),2 例钙化。CEUS 诊断 31 例为真阴性,包括 22 例肿块,最大径 6~22 mm(中位数 13 mm),4 例钙化,4 例局部不对称高密度影及 1 例结构扭曲。

表 1 MG、CEUS 及病理检查的病变特征(例)

检查方法	肿块	钙化	不对称高密度影及结构扭曲
MG			
阴性	24	6	7
阳性	58	18	7
CEUS			
阴性	54	11	6
阳性	28	13	8
病理			
阴性	56	14	9
阳性	26	10	5

表 2 BI-RADS 3~5 类病变 MG 诊断结果与 CEUS、病理对照(例)

BI-RADS 类别	MG	CEUS		病理	
		阳性 (真阳性/假阳性)	阴性 (真阴性/假阴性)	阳性	阴性
3	37	6(2/4)	31(31/0)	2	35
4	60	23(14/9)	37(33/4)	18	42
5	23	20(18/2)	3(0/3)	21	2

MG 诊断 BI-RADS 4 类病变 60 例,18 例病理证实为恶性,包括 12 例肿块,最大径 13~33 mm,3 例钙化,3 例结构扭曲。CEUS 诊断 23 例为阳性,其中 14 例为真阳性,9 例为假阳性;CEUS 诊断 37 例为阴性,其中 33 例为真阴性,4 例为假阴性。14 例真阳性病变包括 10 例浸润性癌(图 1),3 例导管原位癌,1 例不典型导管增生;其中,9 例为肿块,最大径 13~26 mm(中位数 16 mm),2 例钙化,3 例结构扭曲。33 例真阴性中,26 例为肿块,最大径 12~25 mm(中位数 20 mm),6 例微钙化(图 2),1 例结构扭曲。4 例假阴性包括 1 例

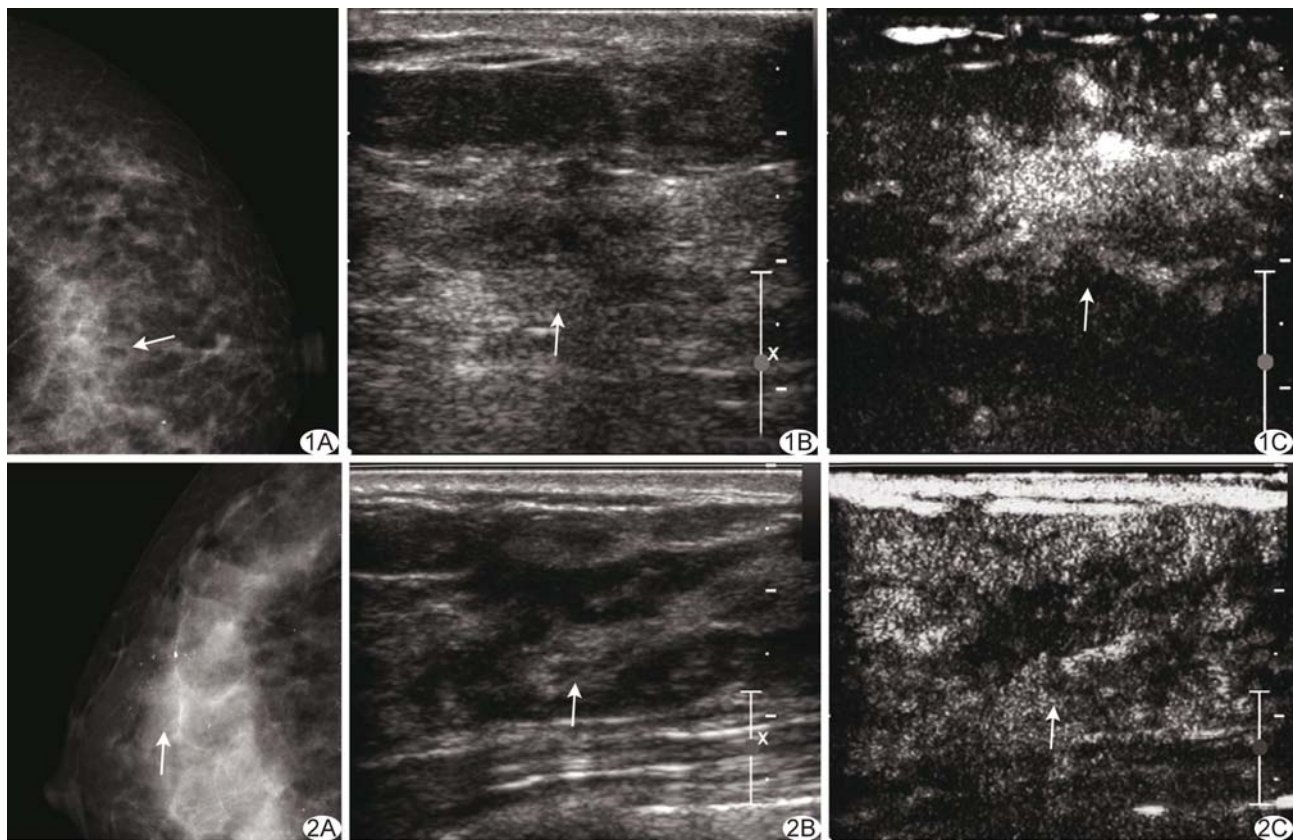


图 1 浸润性乳腺癌 A. MG 显示乳腺不规则形肿块,诊断为 BI-RADS 4 类; B. 常规超声示不规则低回声肿块; C. CEUS 示病灶早期明显强化,诊断为恶性(箭示病灶) 图 2 乳腺腺病 A. MG 显示乳腺内多形性微小钙化,诊断为 BI-RADS 4 类; B. 常规超声示病灶局部呈不规则低回声; C. CEUS 示病变区强化程度低于周围腺体,诊断为良性(箭示病灶)

表3 MG和CEUS的诊断效能对照(%)

BI-RADS分类	敏感度	特异度	PPV	NPV
BI-RADS 3类				
MG	0	100	NA	94.59
CEUS	100	88.57	33.33	100
P值	0.045	0.039	NA	0.188
BI-RADS 4类				
MG	100	0	30.00	NA
CEUS	77.78	78.57	60.87	89.19
P值	0.033	<0.001	0.017	NA
BI-RADS 5类				
MG	100	0	91.30	NA
CEUS	85.71	0	90.00	0
P值	0.072	NA	0.884	NA
BI-RADS 3~5类				
MG	95.12	44.30	46.98	94.59
CEUS	82.93	81.01	69.38	94.11
P值	0.366	<0.001	<0.001	0.015

注:NA未获得

钙化和3例肿块(最大径分别为9、12、16 mm)。MG共发现11例BI-RADS 4类微钙化,CEUS诊断2例为真阳性,6例为真阴性,1例假阴性,2例假阳性。

MG诊断BI-RADS 5类病变23例,病理证实21例为恶性,另外2例分别为炎症和良性叶状肿瘤,MG表现为全乳腺弥漫性密度增高、结构不清及肿块。CEUS诊断20例阳性,其中2例为假阳性,18例为真阳性,CEUS诊断阴性3例均为假阴性,分别为浸润性导管癌(多发复杂囊性结节)、导管原位癌(微钙化)和交界性叶状肿瘤(肿块,最大径17 mm)。

2.2 MG与CEUS的诊断效能 对BI-RADS 3~5类病变MG和CEUS的单独诊断效能见表3。综合120例BI-RADS 3~5类病变,MG(95.12%)与CEUS的诊断敏感度(82.93%)差异无统计学意义($P=0.366$),CEUS的诊断特异度明显高于MG(81.01% vs 44.30%, $P<0.001$);MG与CEUS的PPV和NPV差异均有统计学意义(P 均<0.05)。

3 讨论

乳腺BI-RADS分类对指导病变的临床处理具有重要作用,而对BI-RADS 3及4类病变的诊断界定尚有争议,在临床应用中仍有诸多不确定性,CEUS可提供更多病灶的形态及血供信息。

本研究中,所有BI-RADS 3类病变均接受活检,主要原因为患者的焦虑及乳腺科医师不能确定患者是否可依从随访。本组BI-RADS 3类病变的活检恶性率为5.40%(2/37),高于BI-RADS对3类病变恶性

可能性<2%的要求。研究^[8~11]报道,MG诊断为BI-RADS 3类病变的病理阳性率为0.3%~20.0%。CEUS正确诊断2例假阴性的BI-RADS 3类病变,避免了漏诊。但CEUS诊断存在4例假阳性,有可能造成不必要的活检。本组37例BI-RADS 3类病变中,CEUS诊断良恶性病变的NPV为100%,MG为94.59%,提示CEUS在BI-RADS 3类病变中可增强良性诊断信心,在决定BI-RADS 3类病变是否需进一步活检时CEUS具有一定参考价值。

乳腺BI-RADS 4类病变临床建议活检。有研究^[1,8,10]报道,诊断BI-RADS 4类病变的PPV仅为20%~34%,诊断BI-RADS 4类钙化的PPV达48%^[1,12]。本组中,18例(30.00%,18/60)MG诊断为BI-RADS 4类病变活检病理证实为恶性,11例MG诊断的BI-RADS 4类钙化病灶中3例(27.27%,3/11)为恶性。本组60例BI-RADS 4类病变中,CEUS诊断良恶性病变的PPV为60.87%,明显高于MG($P=0.017$),即在BI-RADS 4类病变中,CEUS的应用可能使33个(55.00%,33/60)避免不必要的活检。然而,CEUS在BI-RADS 4类病例中,有4例诊断为假阴性,包括1例钙化和3例肿块,其NPV为89.19%,提示CEUS诊断不足以排除所有恶性可能,尚不能决定病变是否需进一步活检。

BI-RADS 5类病变定义较为清晰,本组MG诊断的敏感度较高,但对一些征象与乳腺癌十分相似的良性病变,也可能发生误诊,本组中应用CEUS也未能纠正MG误诊的2例,需紧密结合临床特征。CEUS诊断3例阴性病变均证实为假阴性,可以认为CEUS对BI-RADS 5类病变的诊断能力并不优于MG。

将120例BI-RADS 3、4、5类病变综合分析,MG与CEUS的诊断敏感度差异无统计学意义,即CEUS不能发现更多的恶性病变。而CEUS的特异度和PPV明显高于MG,CEUS的应用也使假阳性率由55.69%(44/79)降低至20.25.0%(15/79),与Zdemir等^[6]的研究结果一致,提示CEUS诊断为阳性可增强BI-RADS 4、5类病变的诊断信心。对于本组120例BI-RADS 3~5类病变,CEUS的NPV低于MG($P=0.015$),提示不能将CEUS检查的阴性结果作为排除活检的决定性检查。

总之,将CEUS作为MG诊断BI-RADS 3~5类病变的补充检查,可提高诊断特异度,增强阳性病变的诊断信心。而对于BI-RADS 3类病变,由于CEUS具有较高的NPV,CEUS阴性诊断可以增强随访建议的

信心,在一定程度上避免不必要的活检。但本研究的总样本量较小,尤其是各类钙化病变较少,尚需扩大样本量进一步研究。

[参考文献]

- [1] Uematsu T, Yuen S, Kasami M, et al. Dynamic contrast-enhanced MR imaging in screening detected microcalcification lesions of the breast: Is there any value? *Breast Cancer Res Treat*, 2007, 103(3):269-281.
- [2] Wan CF, Du J, Fang H, et al. Enhancement patterns and parameters of breast cancers at contrast-enhanced US: Correlation with prognostic factors. *Radiology*, 2012, 262(2):450-459.
- [3] Tuncbilek N, Unlu E, Karakas HM, et al. Evaluation of tumor angiogenesis with contrast-enhanced dynamic magnetic resonance mammography. *Breast J*, 2003, 9(5):403-408.
- [4] Zhao H, Xu R, Ouyang Q, et al. Contrast-enhanced ultrasound is helpful in the differentiation of malignant and benign breast lesions. *Eur J Radiol*, 2010, 73(2):288-293.
- [5] 郑艳玲,陕泉源,罗佳,等.超声造影鉴别诊断可疑恶性乳腺病灶的囊实性.中国医学影像技术,2015,31(5):742-745.
- [6] Zdemir A, Kiliç K, Ozdemir H, et al. Contrast-enhanced power Doppler sonography in breast lesions: Effect on differential diagnosis after mammography and gray scale sonography. *J Ultrasound Med*, 2004, 23(2):183-195; quiz 196-7.
- [7] 陕泉源,罗佳,梁瑾瑜,等.超声造影鉴别诊断乳腺良恶性肿瘤.中国医学影像技术,2015,31(7):1045-1048.
- [8] Orel SG, Kay N, Reynolds C, et al. BI-RADS categorization as a predictor of malignancy. *Radiology*, 1999, 211(3):845-850.
- [9] Stines J. BI-RADS: Use in the French radiologic community. How to overcome with some difficulties. *Eur J Radiol*, 2007, 61(2):224-234.
- [10] Mendez A, Cabanillas F, Echenique M, et al. Evaluation of breast imaging reporting and data system category 3 mammograms and the use of stereotactic vacuum-assisted breast biopsy in a nonacademic community practice. *Cancer*, 2004, 100(4):710-714.
- [11] Vizcaíno I, Gadea L, Andreo L, et al. Short-term follow-up results in 795 nonpalpable probably benign lesions detected at screening mammography. *Radiology*, 2001, 219(2):475-483.
- [12] Mendez A, Cabanillas F, Echenique M, et al. Mammographic features and correlation with biopsy findings using 11-gauge stereotactic vacuum-assisted breast biopsy (SVABB). *Ann Oncol*, 2004, 15(3):450-454.

《中国医学影像技术》投稿须知(二)

3 稿件修改 本刊编辑部通过网站编辑系统给作者发修改意见,同时会有邮件提醒。一般情况下,作者应于7天内将修改后稿件上传编辑系统。1个月内未修回的稿件将以退稿处理。依照《著作权法》有关规定,本刊编辑部可对来稿做文字修改、删节,凡有涉及原意的修改,请作者在寄回校样时提出。

4 稿件查询 ①作者投稿后1周未收到E-mail回复的稿号即为本期社未收到投稿,请重新投稿;②收到稿号后可登陆本刊网站实时查询稿件处理状态,1个月内未查询到稿件审理进展可以发邮件咨询;③本刊收费通知一律以E-mail形式发出,如需出具纸质通知另行联系;④作者交纳发表费后1个月内未查到发票信息或者未收到发票请及时发邮件与期刊社联系。

5 版权 来稿文责自负,凡投稿者,即视为同意本刊编辑部将稿件以纸质载体、光盘载体及网络版形式出版。寄回校样的同时请从本刊主页“下载中心”栏目中下载“版权转让协议”,签字并寄回。

6 收费 作者在收到交纳审理费通知后须及时交纳审稿费60元。稿件一经录用,即收取发表费,刊印彩图者,需加付彩图印制工本费。1个月内不寄款者,本刊将按退稿处理。